- 4. *Андреев А.Л., Компанец И.Н, Андреева Т.Б., Шумкина Ю.П.* Динамика движения доменных границ в сегнетоэлектрических жидких кристаллах в электрическом поле. Физика твердого тела, 2009, т.51, вып.11, с.2275—2280.
- 5. *Ландау Л.Д., Лившиц Е.М.* Теория упругости. Наука, Москва, с. 188-189 (1987).

# DISPLAY FLC CELL MODULATES THE LIGHT WITH FREQUENCY UP TO 7 KHZ AT VOLTAGE $\pm$ 1.5 V

A. Andreev\*, N. Zalyapin\*\*, I. Kompanets\*

\*P.N.Lebedev Physical Institute of the Russian Academy of Sciences
53, Leninskiy prospekt, Moscow, Russia

\*\*National Research Nuclear University «MEPhI»
31, Kashirskoe shosse, Moscow, 115409, Russia

Abstract. Selection of the essential parameters and conditions of molecules reorientation in non-helix FLC allowed to reduce the optical response time of a display cell to 24  $\mu$ s and to increase the frequency of light modulation in the soliton mode up to 7 kHz at the control voltage  $\pm$  1.5 V.

*Keywords*: Ferroelectric liquid crystal, helix compensation, viscosity, optical response, soliton mode.

УДК 661.143

# РАЗРАБОТКА НОВОЙ ТЕХНОЛОГИИ СИНТЕЗА И ИССЛЕДОВАНИЕ СВОЙСТВ ОРТОФОСФАТНЫХ ЛЮМИНОФОРОВ

В.В. Бахметьев<sup>1</sup>, М.М. Сычев<sup>1</sup>, С.П. Богданов<sup>1</sup>, О.В. Володина<sup>1</sup>, Л.П. Мезенцева<sup>2</sup>, А.В. Осипов<sup>2</sup>, А.И. Орлова<sup>3</sup>, Н.В. Маланина<sup>3</sup>, В.Т. Лебедев<sup>4</sup>, А.Е. Совестнов<sup>4</sup>, А.Е. Соколов<sup>4</sup>, Ю.В. Кульвелис<sup>4</sup>, Т.С. Минакова<sup>5</sup>, И.А. Екимова<sup>5</sup>, Н.С. Еремина<sup>5</sup>

<sup>1</sup>Санкт-Петербургский государственный технологический институт (технический университет)

<sup>2</sup>Институт химии силикатов им. И.В. Гребенщикова РАН

<sup>3</sup>Нижегородский государственный университет им. Н.И. Лобачевского

<sup>4</sup>Петербургский институт ядерной физики им. Б.П. Константинова

<sup>5</sup>Национальный исследовательский Томский государственный университет

Аннотация. Разработана технология, позволяющая золь-гель методом из водных растворов получать эффективные рентгенолюминофоры состава  $Zn_3(PO_4)_2:Mn^{2+}$ , в том числе с наноразмерными частицами, и направленно регулировать цвет свечения синтезируемых люминофоров в области от красного до зеленого. Исследованы спектры и интенсивность рентгенолюминесценции, фазовый состав, и поверхностные свойства полученных лю-

минофоров в зависимости от условий синтеза. Найдены условия термической обработки люминофоров, при которых синтезированные образцы обладают устойчивостью к взаимодействию с водной средой.

*Ключевые слова:* люминофор, рентгенолюминесценция, ортофосфат цинка, золь-гель метод, наночастицы.

## Введение

Люминофоры на основе ортофосфатов являются одними из наиболее эффективных преобразователей рентгеновского и гамма-излучения в видимый свет с высокой радиационной стабильностью и относительно высоким энергетическим выходом радиолюминесценции (до 5 %) [1]. Ортосфаты цинка и кальция являются нетоксичными химическими соединениями, что позволяет использовать их в медицинских целях в составе фармакологических препаратов, предназначенных для введения в организм, чувствительных к рентгеновскому и гамма-излучениям.

Особенностью люминофора  $Zn_3(PO_4)_2:Mn^{2+}$  является наличие в спектре люминесценции двух полос: «зеленой», соответствующей иону Mn<sup>2+</sup> в тетраэдрической координации, и «красной», относящейся к люминесценции иона Mn<sup>2+</sup> в октаэдрической координации. Преобладание в спектре той или иной полосы определяется концентрацией активатора и кристаллической модификацией основы люминофора (α, β, или γ). При комнатной температуре стабильна  $\alpha$ -фаза  $Zn_3(PO_4)_2$ , в которой  $Mn^{2+}$  находится в тетраэдрической координации и дает полосу люминесценции с  $\lambda_{max} = 550$  нм. При температуре выше 942 °C стабильна β-фаза Zn<sub>3</sub>(PO<sub>4</sub>)<sub>2</sub>, метастабильная при комнатной температуре. В ней  ${\rm Mn}^{2^+}$  находится в октаэдрической координации и дают полосу с  $\lambda_{\rm max} = 638$ нм. При температуре ниже 900 °C в ограниченном диапазоне концентраций Mn<sup>2+</sup> может образовываться  $\gamma$ -фаза  $Zn_3(PO_4)_2$ , в которой  $Mn^{2+}$  также находится в октаэдрической координации и люминесцирует с  $\lambda_{max} = 635$  нм [2]. Таким образом, изменяя фазовый состав основы, можно направленно регулировать цвет свечения люминофора. Для использования в составе фармакологических препаратов необходимы люминофоры, излучающие в «красной» области, имеющие размер частиц, позволяющий приготовить устойчивые коллоидные растворы.

Традиционной технологией получения ортофосфатных люминофоров является высокотемпературная обработка шихты исходных компонентов [3]. В результате синтеза получаются крупнозернистые люминофоры, размер частиц которых не позволяет приготовить из них коллоидные растворы, пригодные для применения в медицине. Нами была разработана технология синтеза люминофоров  $Zn_3(PO_4)_2:Mn^{2+}$  путем соосаждения компонентов золь-гель методом, позволяющая уменьшить длительность и температуру последующий термообработки, и получать более мелкозернистые образцы, в том числе, с наноразмерными частицами.

# Экспериментальная часть

Синтез люминофоров Zn<sub>3</sub>(PO<sub>4</sub>)<sub>2</sub>:Mn<sup>2+</sup> осуществлялся путем осаждения геля из водных растворов исходных компонентов с последующей высокотемпературной обработкой полученного осадка. Исходными компонентами являлись нитраты цинка и марганца. В качестве осадителя использовалась ортофосфорная кислота (осаждение в кислой среде) или однозамещенный фосфорнокислый аммоний (осаждение в нейтральной среде). При осаждении в нейтральной среде для повышения выхода целевого продукта и уменьшения его дисперсности в раствор добавлялся этиловый спирт. Использование

золь-гель метода позволяло получить исходный материал с мелким размером частиц. Содержание активатора (марганца), вводимого в люминофор, варьировалось в диапазоне 0,7...10 мольных %. Для получения образцов стехиометрического состава, исходные компоненты брались в эквивалентных количествах. После осаждения гель отделялся от раствора, промывался бидистиллированной водой и высушивался в вакууме. Высушенный осадок подвергался многоступенчатому отжигу при температурах 600, 800, 900 и 1000 °C с промежуточным охлаждением и размолом между ступенями. Такой способ отжига был применен для промежуточной дезагрегации частиц, полученных при осаждении, с целью уменьшить их срастание и рост размеров.

Для возбуждения рентгенолюминесценции синтезированных люминофоров использовался промышленный рентгеновский аппарат РУП-150 с трубкой 0,3БПВ6-150 с  $U_a = 50 \text{ кB}$  и  $J_a = 2 \text{ мA}$ , дающий «жесткое» рентгеновское излучение с длиной волны в диапазоне  $\lambda \approx 0.3...2$  Å (сплошной тормозной спектр с граничной  $\lambda = 0.2$  Å и дискретными характеристическими спектрами K-серии меди и L-серии вольфрама,  $\lambda = 1, 2 \dots 1, 5$ А, с интегральной интенсивностью одного порядка). Регистрация спектров проводилась с помощью спектрофлуориметра AvaSpec-2048. Исследование размеров частиц синтезированных люминофоров осуществлялось с помощью сканирующего электронного микроскопа Hitachi TM-3000, атомно-силового микроскопа ACM Solver P47 Pro, а также методом малоуглового рентгеновского рассеяния на Курчатовском источнике синхротронного излучения (установка DICSI). Рентгенофазовый анализ проводился на дифрактометре ДРОН-3 под управлением компьютерной программы «DIFWIN1». Исследование поверхностных свойств нанолюминофоров в данной работе проводилось индикаторным методом, подробно описанным в [4 - 7]. Метод основан на селективной адсорбции цветных кислотно-основных индикаторов из водных растворов на поверхности дисперсных твердых веществ.

## Результаты и обсуждение

В наших предыдущих работах [8; 9] было показано, что среда осаждения (кислая или нейтральная) слабо влияет на люминесцентные свойства и фазовый состав синтезированных люминофоров Zn<sub>3</sub>(PO<sub>4</sub>)<sub>2</sub>:Mn<sup>2+</sup>. В то же время, было установлено, что повышение концентрации марганца приводит к росту в спектре рентгенолюминесценции «красной» полосы, и уменьшению «зеленой». При более высоких концентрациях марганца удавалось снизить температуру последней стадии термообработки и сохранить преобладание в спектре люминесценции «красной» полосы, необходимой для медицинского применения люминофоров. Одновременно с тем, более низкая температура прокаливания способствовала получению образцов с более мелкими частицами. Поэтому, в первую очередь, задачей данной работы было исследование влияния концентрации марганца и температуры отжига на свойства люминофоров Zn<sub>3</sub>(PO<sub>4</sub>)<sub>2</sub>:Mn<sup>2+</sup>.

На рис.1 представлены спектры рентгенолюминесценции образцов, осажденных в нейтральной среде с добавлением этилового спирта и отожженных при температурах на последней стадии ступенчатого отжига достигавших 800 и 900 °C. Видно, что повышение концентрации  $\mathrm{Mn}^{2+}$  способствует росту интенсивности «красной» полосы и уменьшению интенсивности «зеленой». На рисунке 2 показаны спектры рентгеновской дифракции этих же образцов, из которых видно, что изменение спектров рентгенолюминесценции обусловлено уменьшением содержания в люминофорах  $\alpha$ -фазы  $\mathrm{Zn}_3(\mathrm{PO}_4)_2$  и ростом содержания  $\gamma$ -фазы (данные карточек ICDD PDF для  $\alpha$ - и  $\gamma$ -фаз  $\mathrm{Zn}_3(\mathrm{PO}_4)_2$  также приведены на рис. 2).

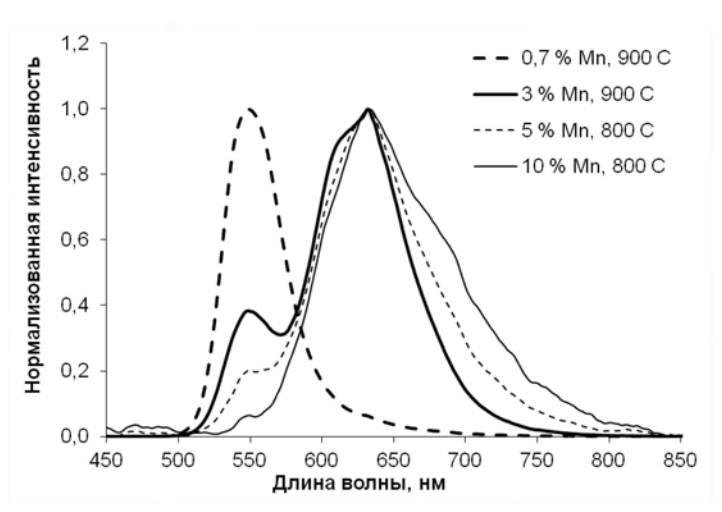


Рис.1. Влияние концентрации марганца и температуры последней стадии отжига на спектры рентгенолюминесценции образцов  $Zn_3(PO_4)_2$ : $Mn^{2+}$ , осажденных в нейтральной среде с добавлением этилового спирта

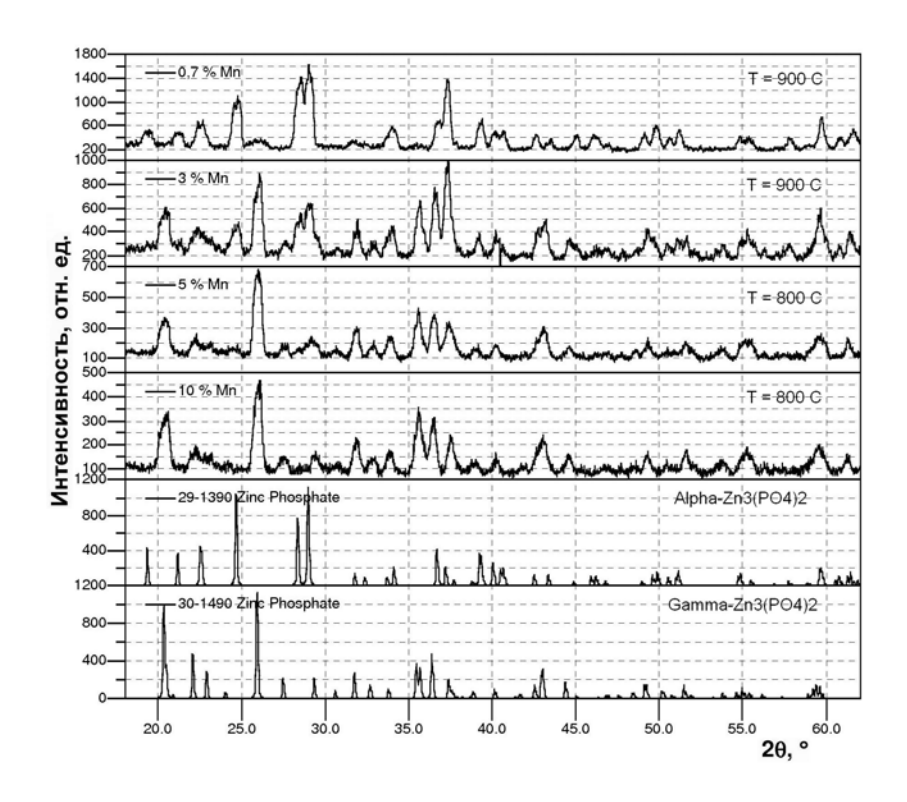


Рис.2. Влияние концентрации марганца и температуры последней стадии отжига на спектры рентгеновской дифракции образцов  $Zn_3(PO_4)_2$ : $Mn^{2+}$ , осажденных в нейтральной среде с добавлением этилового спирта

При повышении температуры на последней стадии термообработки до 1000 °C, спектр рентгенолюминесценции  $Zn_3(PO_4)_2$ : $Mn^{2+}$  состоит только из «красной» полосы уже при концентрации марганца 3 мольных % (рис.3). При концентрации марганца 0,7 мольных %, в спектре присутствует слабая «зеленая» полоса. Спектры рентгеновской

дифракции образцов, температура прокаливания которых достигала 1000 °C (рис.4), соответствуют  $\beta$ -фазе  $Zn_3(PO_4)_2$ , образующейся при температуре выше 942 °C. Поскольку «зеленую» полосу люминесценции может давать только  $\alpha$ - $Zn_3(PO_4)_2$ : $Mn^{2+}$ , очевидно,  $\alpha$ -фаза также присутствует в образце с содержанием  $Mn^{2+}$  0,7 мольных %, в малом количестве, незаметном на спектрах рентгеновской дифракции.

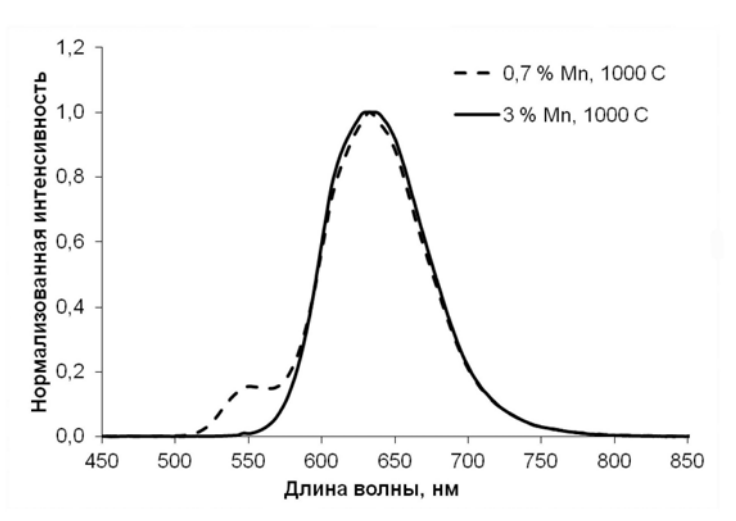


Рис.3. Влияние концентрации марганца на спектры рентгенолюминесценции образцов  $Zn_3(PO_4)_2$ :  $Mn^{2+}$ , осажденных в нейтральной среде с добавлением этилового спирта и отожженных при 1000 °C

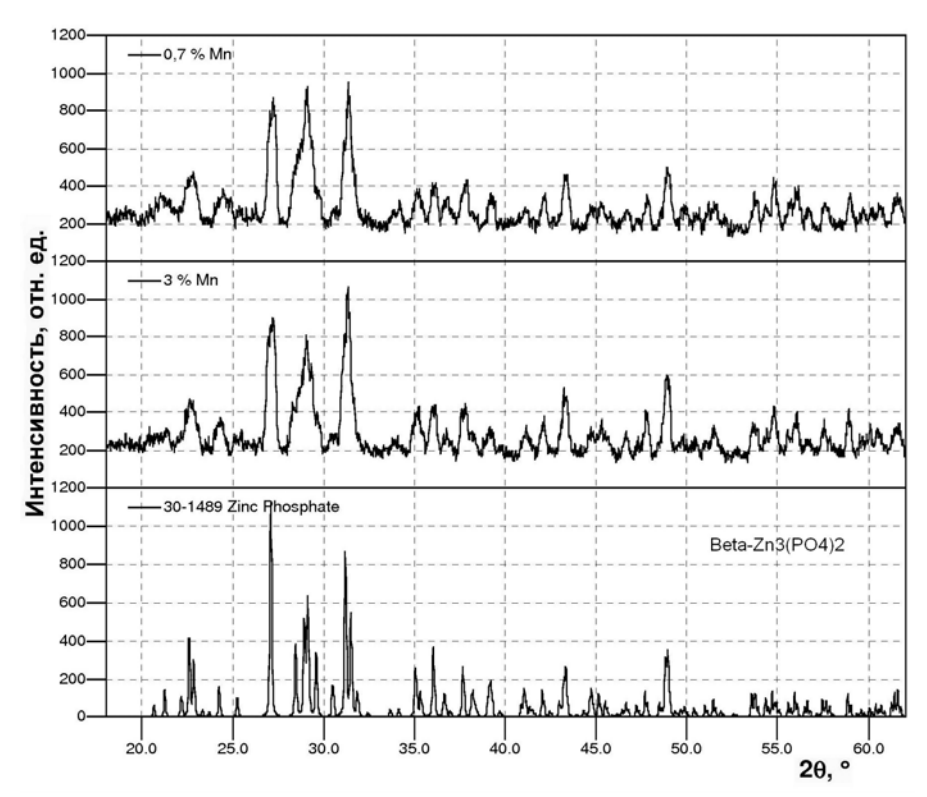


Рис.4. Влияние концентрации марганца на спектры рентгеновской дифракции образцов  $Zn_3(PO_4)_2$ : $Mn^{2+}$ , осажденных в нейтральной среде с добавлением этилового спирта и отожженных при 1000 °C

На рис.5 показан пример растровых электронных микрофотографий для образца  $Zn_3(PO_4)_2:Mn^{2+}$  с содержанием  $Mn^{2+}$  0,7 мольных %, отожженного на последней стадии при температурах 900 и 1000 °C. Видно, что после стадии отжига при 900 °C в люминофоре наблюдаются крупные агрегаты размером 20...50 мкм, состоящие из сросшихся мелких частиц, размером 0,5...10 мкм. После отжига при 1000 °C происходит срастание агрегатов в крупные частицы, размер которых составляет 10...50 мкм, при этом в образце остается небольшое количество мелких зерен, имеющих размер 0,5...5 мкм. В то же время, исследование образца, отожженного на последней стадии при 900 °C, методом атомно-силовой микроскопии (AFM), показало наличие в составе люминофора наночастиц со средним размером приблизительно 60 нм (рис.6). Исследование синтезированных люминофоров методом малоуглового рентгеновского рассеяния (SAXS) также показало наличие в составе образцов плотных объектов с четкими границами между рассеивающими фазами (типично для порошков) со средним размером частиц около 60 нм (рис.7). Полученные данные свидетельствуют о том, что в синтезированных образцах наряду с относительно крупными частицами размером 0,5...10 мкм, заметными на растровых электронных микрофотографиях, присутствуют и наночастицы размером 20...120 нм, которые четко обнаруживаются методами AFM и SAXS.

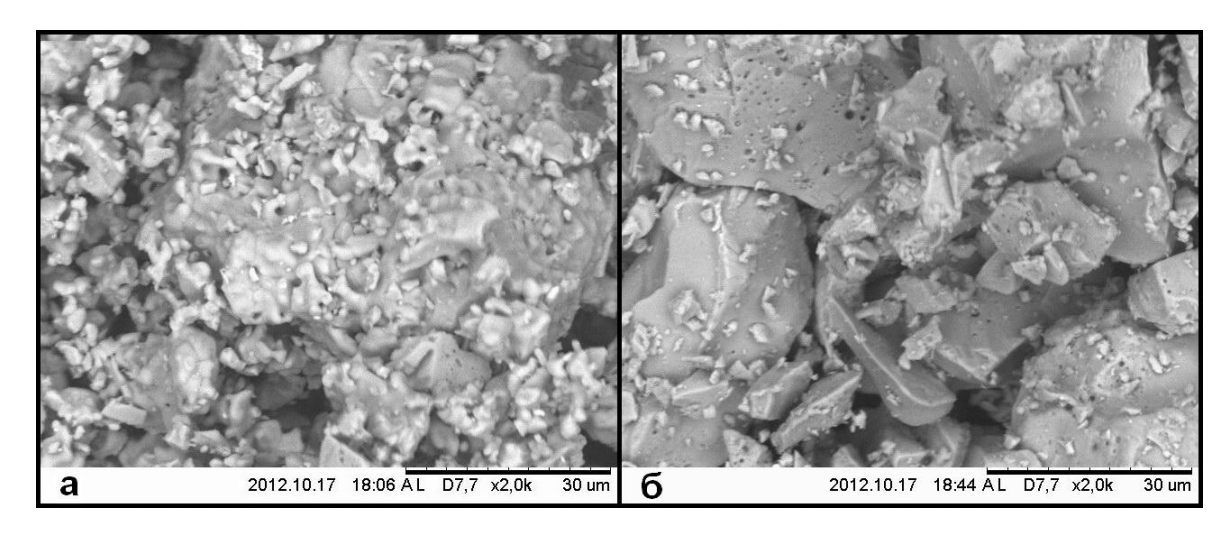


Рис. 5. Растровые электронные микрофотографии образцов  $Zn_3(PO_4)_2$ : $Mn^{2+}$  с содержанием марганца 0,7 мольных %, отожженных на последней стадии при температурах 900 °C (а) и 1000 °C (б)

На основании полученных результатов можно было бы сделать предположение, что наиболее подходящим для медицинского использования является образец  $Zn_3(PO_4)_2$ : $Mn^{2+}$  с содержанием марганца 10 мольных %, отжигавшийся на последней стадии при 800 °C, как обладающий «красным» цветом свечения и наименьшим размером частиц за счет низкой температуры синтеза. Однако, при приготовлении фармакологических препаратов важное значение имеет также устойчивость образца к взаимодействию с водой, входящей в состав препаратов для внутривенных инъекций.

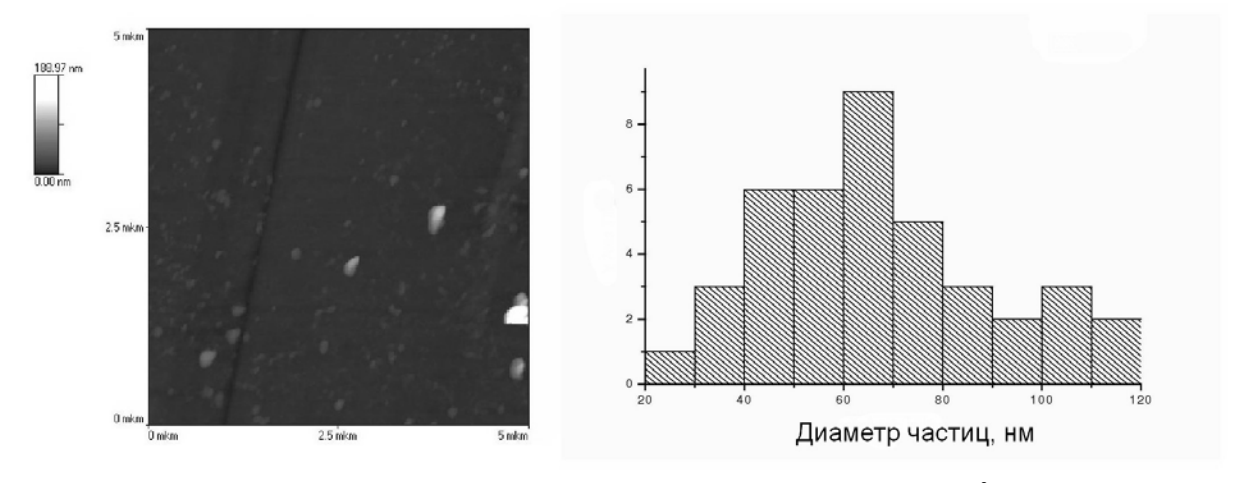


Рис. 6. Атомно-силовая микрофотография образца  $Zn_3(PO_4)_2$ :  $Mn^{2^+}$ , отожженного на последней стадии при температуре 900 °C, и гистограмма распределения его частиц по размерам, рассчитанная по данным ACM

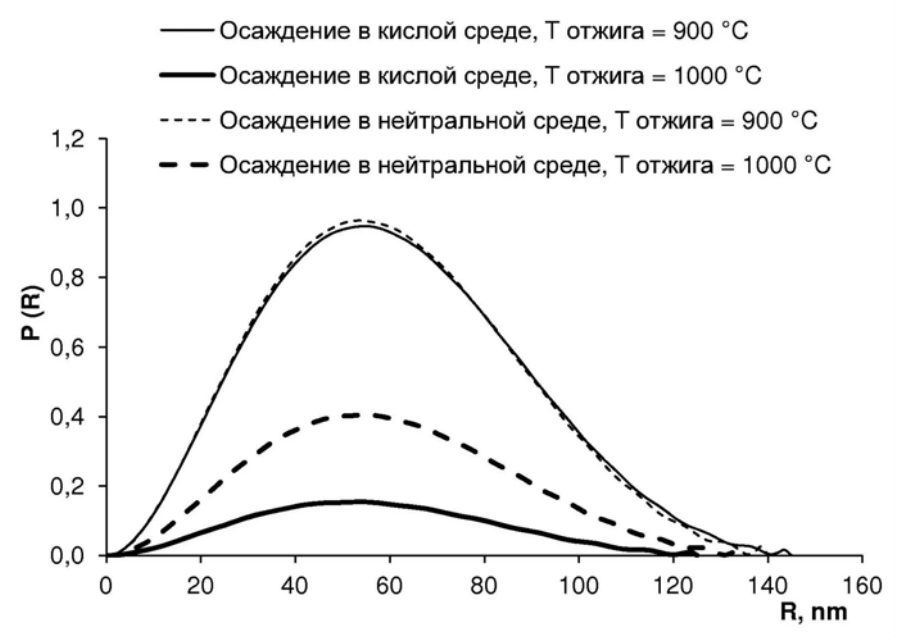


Рис. 7. Распределение по размерам рассеивающих объектов, определенное методом малоуглового рентгеновского рассеяния, для образцов  $Zn_3(PO_4)_2:Mn^{2+}$  с содержанием марганца 3 мольных %

Для исследования взаимодействия синтезированных люминофоров с водой был проведен «мокрый» помол образцов на вибромельнице в течение 25 часов в растворе, включающем бидистиллированную воду, этиловый спирт и диспергатор ОП-10. Рентгенофазовый анализ показал, что фазовый состав образцов, отжигавшихся на последней стадии при  $800\,^{\circ}$ С, после «мокрого» помола сильно изменился (рис.8). В образцах стала преобладать фаза  $Zn_3(PO_4)_2\cdot 2H_2O$ . Присутствуют также фазы  $Zn_3(PO_4)_2\cdot 4H_2O$  и небольшое количество остаточного  $\gamma$ - $Zn_3(PO_4)_2$ . В то же время, спектры рентгеновской ди-

фракции, а следовательно, и фазовый состав образцов, отжигавшихся на последней стадии при температуре 900 °C, в результате «мокрого» помола не изменились, что свидетельствует о более высокой устойчивости этих образцов к взаимодействию с водой.

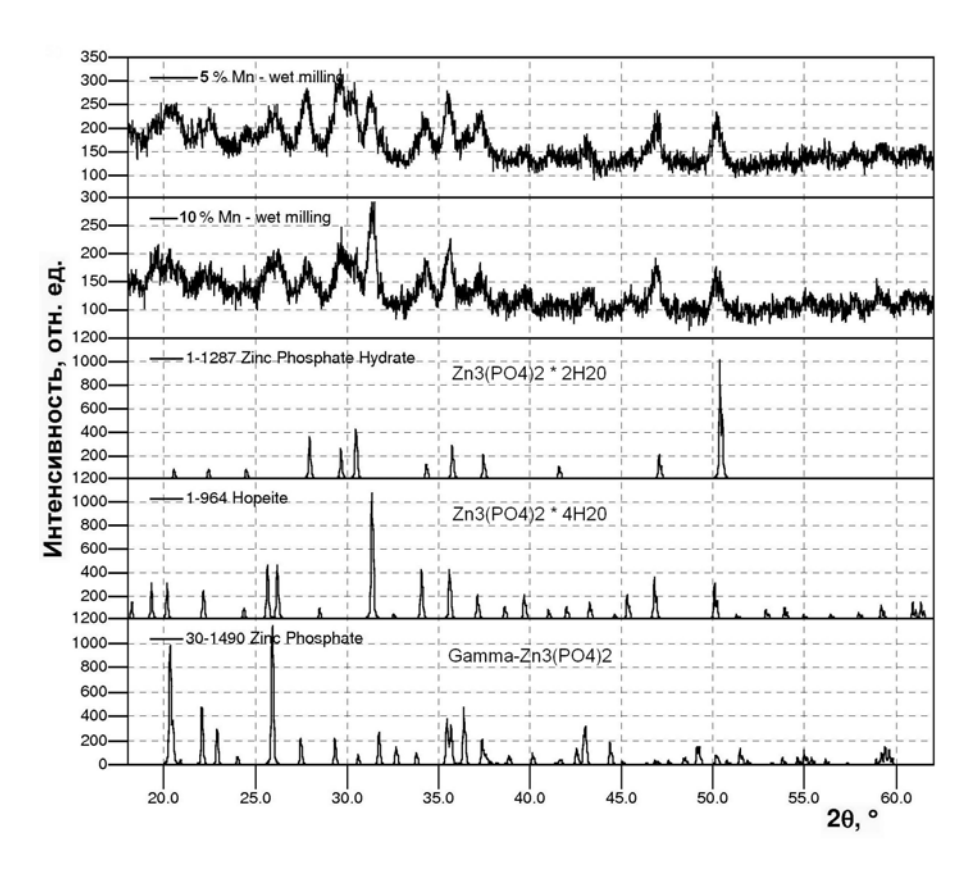


Рис.8. Сравнение спектров рентгеновской дифракции образцов, осажденных в нейтральной среде и отожженных при 800 °C, после «мокрого» помола в течение 25 часов, с данными карточек ICDD PDF для ортофосфата цинка и кристаллогидратов

Следовательно, из исследованных образцов, наиболее подходящим для приготовления фармакологических препаратов является люминофор, отожженный на последней стадии при температуре 900 °C с содержанием марганца 3 мольных %, как имеющий наименьший размер частиц среди образцов, устойчивых к взаимодействию с водой, в спектре рентгенолюминесценции которого преобладает «красная» полоса.

В процессе взаимодействия дисперсных твердых тел с растворами важное значение имеют поверхностные свойства веществ. Кроме того, поверхностные свойства люминофоров играют важную роль в процессе люминесценции, поскольку поверхностные активные центры могут снижать выход люминесценции за счет безызлучательной рекомбинации на них электронов. В наших предыдущих работах были подробно исследованы поверхностные свойства цинк-сульфидных люминофоров, как крупнозернистых, с размерами частиц 20...40 мкм [6], так и нанолюминофоров, имеющих размеры частиц

1...10 нм [7]. Была разработана модель, описывающая строение активных кислотноосновных центров на поверхности цинк-сульфидных люминофоров [6; 7].

В данной работе также было проведено исследование поверхностных свойств синтезированных люминофоров методом адсорбции цветных кислотно-основных индикаторов из водных растворов.

Пример спектров распределения центров адсорбции (РЦА) для синтезированных люминофоров  $Zn_3(PO_4)_2$ : $Mn^{2+}$  с содержанием марганца 0,7 мольных % приведен на рис.9, а на рис.10 представлено сопоставление суммарного содержания активных центров на поверхности этих образцов ( $\Sigma q_{pKa}$ ) с интенсивностью их рентгенолюминесценции.

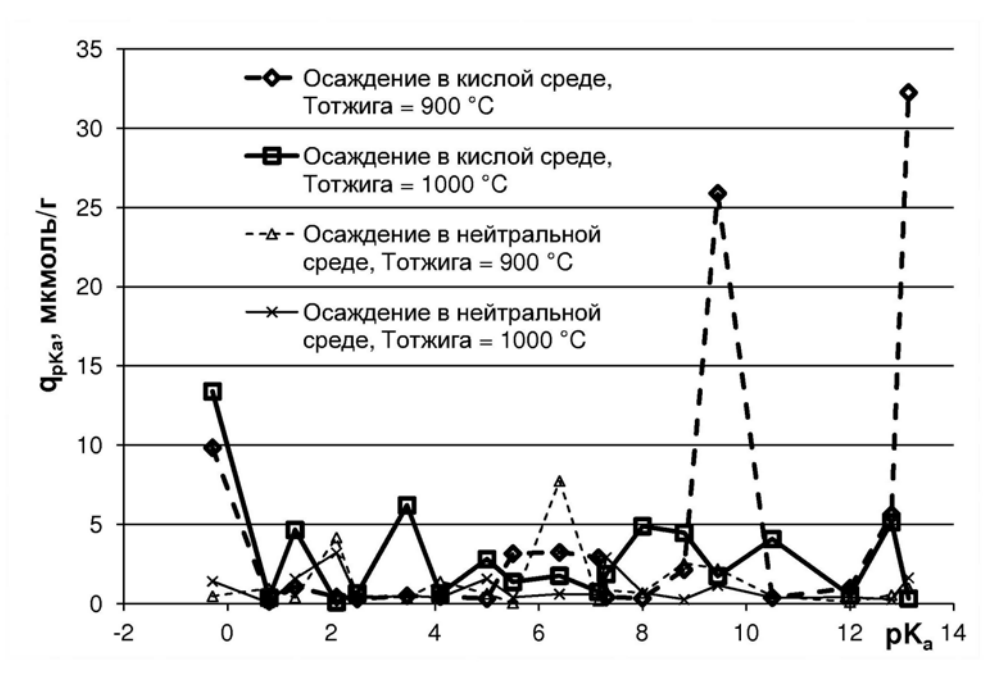


Рис. 9. Спектры распределения центров адсорбции (РЦА) на поверхности люминофоров  $Zn_3(PO_4)_2$ : $Mn^{2+}$  с содержанием марганца 0,7 мольных %

Если для содержания на поверхности люминофоров активных центров с конкретными значениями кислотности  $pK_a$  взаимосвязи с условиями синтеза и рентгенолюминесцентными свойствами обнаружить не удалость, то для  $\Sigma q_{pKa}$  были выявлены следующие закономерности:

- 1. Люминофоры, осажденные в среде, содержащей этиловый спирт, имеют меньшее суммарное содержание активных центров на поверхности по сравнению с образцами, осажденными в кислой среде.
- 2. Для каждого способа осаждения люминофоров повышение температуры на последней стадии отжига приводит к увеличению интенсивности рентгенолюминесценции, и, одновременно с тем, к уменьшению суммарного содержания активных центров на поверхности образцов. Подобная закономерность уже наблюдалась нами ранее для цинк-сульфидных люминофоров и может быть связана с тем, что происходящее при этом увеличение размеров частиц приводит к уменьшению их удельной поверхности, а

следовательно, снижает содержание поверхностных дефектов, являющихся центрами тушения люминесценции [10; 11].

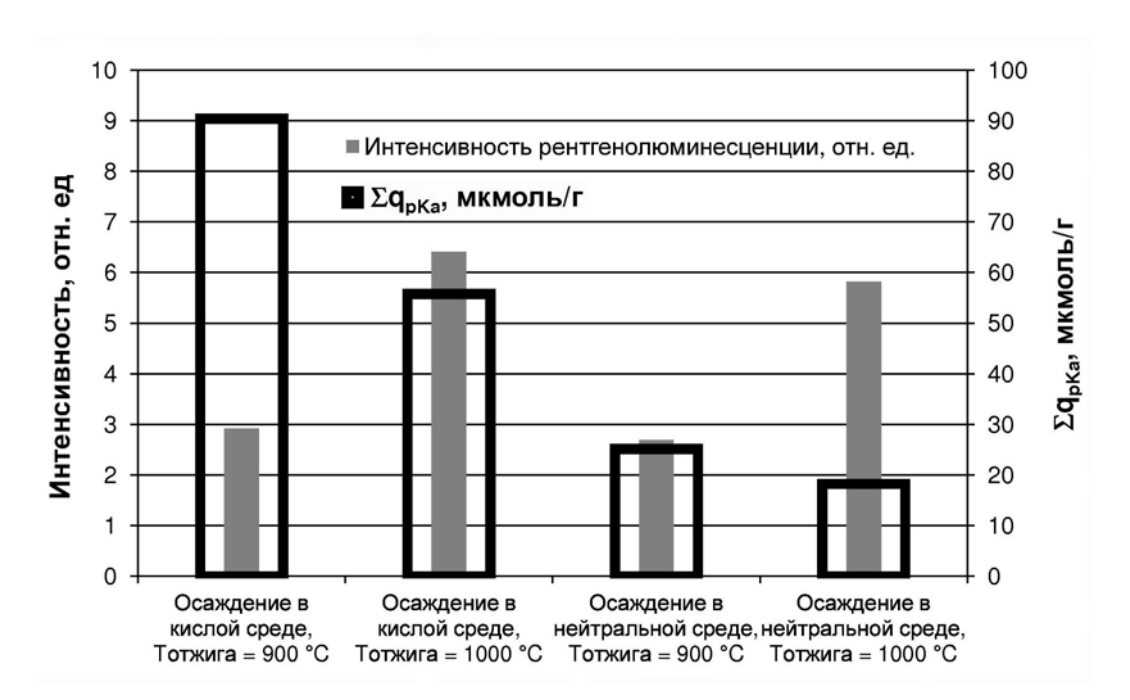


Рис. 10. Сопоставление интенсивности рентгенолюминесценции и суммарного содержания активных центров ( $\Sigma q_{pKa}$ ) на поверхности люминофоров  $Zn_3(PO_4)_2:Mn^{2+}$  с концентрацией марганца 0,7 мольных %

## Выводы

- 1. Разработана новая технология синтеза люминофоров  $Zn_3(PO_4)_2:Mn^{2+}$  золь-гель методом из водных растворов компонентов, обладающих эффективной люминесценцией при возбуждении рентгеновским излучением, позволяющая направленно регулировать цвет свечения получаемых люминофоров от красного до зеленого.
- 2. Установлено, что в составе синтезированных люминофоров присутствуют как относительно крупные частицы с размерами до 50 мкм, так и наночастицы с размерами менее 100 нм. В дальнейшем, частицы нужных размеров могут быть выделены фракционированием синтезированных образцов.
- 3. Исследовано влияние условий синтеза (среды осаждения, концентрации активатора и температуры отжига) на фазовый состав люминофоров  $Zn_3(PO_4)_2:Mn^{2+}$ . Показано, что в кристаллической решетке синтезированных образцов присутствуют ионы марганца, находящиеся как в тетраэдрической, так и в октаэдрической координации.
- 4. Исследована стабильность синтезированных люминофоров при взаимодействии с водными растворами. Установлены условия термической обработки, позволяющие получать образцы, сохраняющие свои свойства при нахождении в водной среде.
- 5. Найдена взаимосвязь поверхностных и люминесцентных свойств люминофоров  $Zn_3(PO_4)_2$ : $Mn^{2+}$  с условиями их осаждения и термической обработки.

Работа выполнена при поддержке Министерства образования и науки Российской Федерации, соглашение 14.В37.21.1644.

#### ЛИТЕРАТУРА

- 1. *Михальченко Г.А.* Радиолюминесцентные излучатели. М.: Энергоатомиздат, 1988. 152 с.
- 2. Stephens J. S., Calvo C. Crystal structure of  $\beta$ -Zn<sub>3</sub>(PO<sub>4</sub>)<sub>2</sub> // Canadian Journal of Chemistry. 1967. V. 45. P. 2303-2312.
- 3. *William M. Yen, Marvin J. Weber*. Inorganic phosphors: compositions, preparation, and optical properties. CRC Press, 2004. 475 p.
- 4. Танабе К. Твердые кислоты и основания. М.: Мир, 1973. 183 с.
- 5. *Нечипоренко А.П.* Донорно-акцепторные свойства поверхности оксидов и халькогенидов: автореф. дис ... докт. хим. наук. СПб., 1995. 20 с.
- 6. *Бахметьев В.В.*, *Сычев М.М.*, *Корсаков В.Г.* Модель активных кислотноосновных центров на поверхности цинк-сульфидных электролюминофоров // Журнал прикладной химии. 2010. Т. 83. № 11. С. 1170-1177.
- 7. *Бахметьев В.В., Мякин С.В., Корсаков В.Г., Абызов А.М., Сычев М.М.* Исследование поверхностных и люминесцентных свойств нанолюминофоров ZnS: $Mn^{2+}$  // Физика и химия стекла. 2011. T. 37. № 5. C. 734-743.
- 8. Бахметьев В.В., Сычев М.М., Совестнов А.Е. и др. Нанолюминофоры для фотодинамической терапии онкологических заболеваний: материалы научнопрактической конференции, посвященной 184-й годовщине образования Санкт-Петербургского государственного технологического института (технического университета), СПбГТИ(ТУ), 29-30.11.2012. СПб.: Изд-во СПбГТИ(ТУ), 2012. С. 198-199.
- 9. *Бахметьев В.В.*, *Сычев М.М.*, *Богданов С.П. и др.* Синтез ортофосфатных люминофоров медицинского назначения золь-гель методом // Известия Санкт-Петербургского государственного технологического института (технического университета). 2012. Т. 43. № 17. С. 44-47.
- 10. *Бахметьев В.В., Сычев М.М., Корсаков В.Г. и др.* Поверхностные свойства и люминесценция «зеленого» электролюминофора: материалы Международной конференции по люминесценции, посвященной 110-летию со дня рождения академика С.И. Вавилова. М., ФИАН, 2001, С. 240.
- 11. *Бахметьев В.В.* Синтез и направленное регулирование электрооптических свойств электролюминофоров на основе сульфида цинка: автореф. дис ... канд. хим. наук. СПб., 2005. 20 с.

# DEVELOPMENT OF NEW TECHNOLOGY FOR SYNTHESIS AND STUDY OF THE PROPERTIES OF ORTHOPHOSPHATE PHOSPHORS

V. Bakhmetyev<sup>1</sup>, M. Sychov<sup>1</sup>, S. Bogdanov<sup>1</sup>, O. Volodina<sup>1</sup>, L. Mezentseva<sup>2</sup>, A. Osipov<sup>2</sup>, A. Orlova<sup>3</sup>, N. Malanina<sup>3</sup>, V. Lebedev<sup>4</sup>, A. Sovestnov<sup>4</sup>, A. Sokolov<sup>4</sup>, Yu. Kulvelis<sup>4</sup>, T. Minakova<sup>5</sup>, I. Ekimova<sup>5</sup>, N. Eremina<sup>5</sup>

<sup>1</sup>Saint-Petersburg State Institute of Technology (Technical University)

<sup>2</sup>Institute of Silicate Chemistry of RAS

<sup>3</sup>Lobachevsky State University of Nizhni Novgorod

<sup>4</sup>B.P. Konstantinov Petersburg Nuclear Physics Institute

<sup>5</sup>National Research Tomsk State University

Abstract. A technology, that allows production effective x-ray luminescent phosphors Zn<sub>3</sub>(PO<sub>4</sub>)<sub>2</sub>:Mn<sup>2+</sup> with nanosized particles from the water solution by sol-gel method, and directional regulated their luminescence color from green to red was developed. A x-ray intensity and spectra, phase structure, and surface properties of synthesized samples depending on the synthesis conditions was studied. A conditions of phosphors heat treatment, after which the samples is stabile from interaction with the water environment was found.

*Keywords:* phosphor, x-ray luminescence, zinc orthophosphate, sol-gel method, nanoparticles.

УДК 621.31

## РАСЧЕТ ФОРМЫ РАДИАТОРОВ СВЕТОДИОДНЫХ СВЕТИЛЬНИКОВ

И.В. Попов\*, В.В. Беляев\*\*

\*ФГУП «ЦНИИ «Комета»
115280, Москва, Велозаводская ул., 5
\*\*Московский государственный областной университет (МГОУ)
105005, Москва, ул. Радио, д. 10а

Аннотация. Рассчитана эффективность тепловыделения различных радиаторов специальной формы. При этом исходили из оценки площади тепловыделяющей поверхности. Предложены и запатентованы конструкции радиаторов для изготовления методом экструзии.

Ключевые слова: светодиод, светильник, радиатор.

При работе светодиода далеко не вся подводимая к нему электрическая энергия расходуется на излучение. Значительная ее часть (60-80%) выделяется в виде тепла. Температура p-n перехода, соответствующая температуре активной области кристалли-